
INF 2310 – Digital bildebehandling

Forelesning 3 Geometriske operasjoner



Fritz Albrechtsen

02.02.2015

INF2310

1

Temaer i dag

- Geometriske operasjoner
- Lineære / affine transformasjoner
- Resampling og interpolasjon
- Samregistrering av bilder

- Pensum: Kap. 2.4.4 og 2.6.5 i DIP

02.02.2015

INF2310

2

Geometriske operasjoner

- Endrer på pikslenes posisjoner
- Første steg i denne prosessen:
 - Transformer pikselkoordinatene (x,y) til (x',y') :
$$x' = T_x(x,y)$$
$$y' = T_y(x,y)$$
 - T_x og T_y er ofte gitt som polynomer.
- Siden pikselkoordinatene må være heltall, må vi deretter bruke interpolasjon til å finne pikselverdien (gråtonen) i den nye posisjonen.

02.02.2015

INF2310

3

Anvendelser

- Forstørre deler av bilder for visuell inspeksjon («zooome»)
- Rette opp geometriske feil som oppstår under avbildningen
 - Rotasjon i bildeplanet
 - Fiskeøyelinse
 - (Radar)avbildning av terreng
 - Medisinsk ultralyd
 - ...
- Samregistrere bilder
 - Samregistrere bilder fra ulike sensorer (CT, MR, US)
 - Samregistrere bilder tatt på ulike tidspunkt.
 - Samregistrere bilder med kart i en bestemt kartprojeksjon.
 - Eksempel: Ansiktsgjenkjenning: Finne alle ansiktene i et bilde, "klipp" ut ansiktene, transformer del-bildene slik at ansiktene i bildet blir på samme sted, har samme orientering og samme størrelse som i referansebildene.
- Generere bilder fra andre kameravinkler
- Spesialeffekter

02.02.2015

INF2310

4

Affine transformasjoner

- Transformerer pikselkoordinatene (x,y) til (x',y') :

$$x' = T_x(x,y)$$

$$y' = T_y(x,y)$$

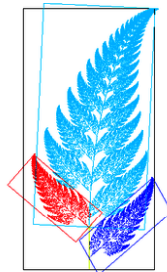
- Affine transformasjoner beskrives ved:

$$x' = a_0x + a_1y + a_2$$

$$y' = b_0x + b_1y + b_2$$

- På matriseform:

$$\begin{bmatrix} x' \\ y' \\ 1 \end{bmatrix} = \begin{bmatrix} a_0 & a_1 & a_2 \\ b_0 & b_1 & b_2 \\ 0 & 0 & 1 \end{bmatrix} \begin{bmatrix} x \\ y \\ 1 \end{bmatrix} \text{ eller } \begin{bmatrix} x' \\ y' \end{bmatrix} = \begin{bmatrix} a_0 & a_1 \\ b_0 & b_1 \end{bmatrix} \begin{bmatrix} x \\ y \end{bmatrix} + \begin{bmatrix} a_2 \\ b_2 \end{bmatrix}$$



Egenskaper ved affine transformasjoner

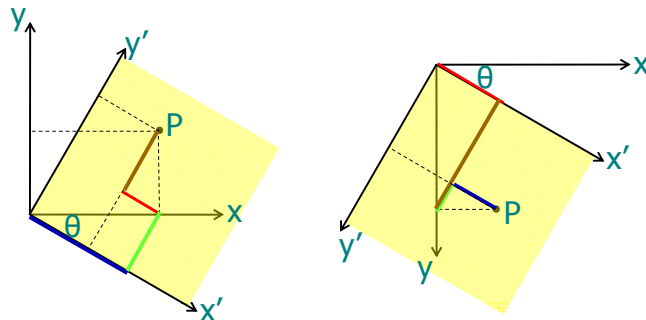
- Rette linjer bevares (se ukeoppgave)
- Parallelle linjer forblir parallelle
 - bevarer ikke vinkler eller avstander
 - + bevarer lengdeforhold langs rette linjer
- Utrykkes ved enkel matrisemultiplikasjon
- Eksempler på affine transformasjoner:
 - Translasjon
 - Rotasjon
 - "Shearing"
 - Skalering
 - Kombinasjoner av disse (!)

Litt om rotasjon ...

- Høyrehånds koordinatsystem, rotasjon positiv med urviseren:

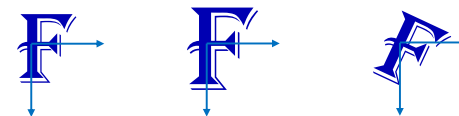
$$x' = x \cos \theta - y \sin \theta; y' = x \sin \theta + y \cos \theta$$
- Venstrehånds koordinatsystem, rotasjon positiv med urviseren:

$$x' = x \cos \theta + y \sin \theta; y' = -x \sin \theta + y \cos \theta$$



Eksempler på enkle transformasjoner - I

Transformasjon	a_0	a_1	a_2	b_0	b_1	b_2	Uttrykk
Identitet	1	0	0	0	1	0	$x' = x$ $y' = y$
Skalering	s_1	0	0	0	s_2	0	$x' = s_1x$ $y' = s_2y$
Rotasjon	$\cos \theta$	$-\sin \theta$	0	$\sin \theta$	$\cos \theta$	0	$x' = x \cos \theta - y \sin \theta$ $y' = x \sin \theta + y \cos \theta$



$$\begin{bmatrix} x' \\ y' \\ 1 \end{bmatrix} = \begin{bmatrix} a_0 & a_1 & a_2 \\ b_0 & b_1 & b_2 \\ 0 & 0 & 1 \end{bmatrix} \begin{bmatrix} x \\ y \\ 1 \end{bmatrix}$$

Eksempler på enkle transformasjoner - II

Transformasjon	a_0	a_1	a_2	b_0	b_1	b_2	Uttrykk
Translasjon	1	0	Δx	0	1	Δy	$x' = x + \Delta x$ $y' = y + \Delta y$
Horizontal "shear" med faktor s_1	1	s_1	0	0	1	0	$x' = x + s_1 y$ $y' = y$
Vertikal "shear" med faktor s_2	1	0	0	s_2	1	0	$x' = x$ $y' = s_2 x + y$



$$\begin{bmatrix} x' \\ y' \\ 1 \end{bmatrix} = \begin{bmatrix} a_0 & a_1 & a_2 \\ b_0 & b_1 & b_2 \\ 0 & 0 & 1 \end{bmatrix} \begin{bmatrix} x \\ y \\ 1 \end{bmatrix}$$

02.02.2015

INF2310

9

Sammenslåing av affine transformasjoner

$$\left[\text{transl.} \right] \begin{bmatrix} x \\ y \\ 1 \end{bmatrix} = \begin{bmatrix} x' \\ y' \\ 1 \end{bmatrix} \quad \left[\text{rot.} \right] \begin{bmatrix} x' \\ y' \\ 1 \end{bmatrix} = \begin{bmatrix} x'' \\ y'' \\ 1 \end{bmatrix}$$

$$\left[\text{rot.} \right] \left[\text{transl.} \right] \begin{bmatrix} x \\ y \\ 1 \end{bmatrix} = \begin{bmatrix} x'' \\ y'' \\ 1 \end{bmatrix}$$

$$\left[\text{transl. \& rot.} \right] \begin{bmatrix} x \\ y \\ 1 \end{bmatrix} = \begin{bmatrix} x'' \\ y'' \\ 1 \end{bmatrix}$$

(etc.)

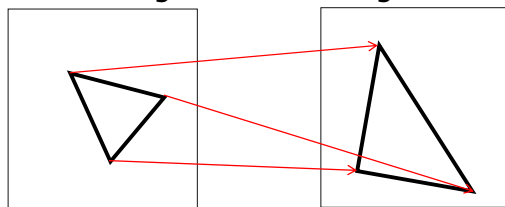
02.02.2015

INF2310

10

Alternativ måte å finne transformasjonskoeffisientene

- En affin transformasjon kan bestemmes ved å spesifisere tre punkter før og etter avbildningen



inn-bildet

resultat-bildet

- Med disse tre punktparene kan vi finne de 6 koeffisientene; $a_0, a_1, a_2, b_0, b_1, b_2$
- Med flere enn 3 punktpar velger man den transformasjonen som minimerer (kvadrat-)feilen summert over alle punktene (mer om dette senere)

02.02.2015

INF2310

11

Transformasjoner med høyere ordens polynomer

- Bilineære transformasjoner beskrives ved:

$$x' = a_0 x + a_1 y + a_2 + a_3 xy$$

$$y' = b_0 x + b_1 y + b_2 + b_3 xy$$

- Kvadratiske transformasjoner:

$$x' = a_0 x + a_1 y + a_2 + a_3 xy + a_4 x^2 + a_5 y^2$$

$$y' = b_0 x + b_1 y + b_2 + b_3 xy + b_4 x^2 + b_5 y^2$$

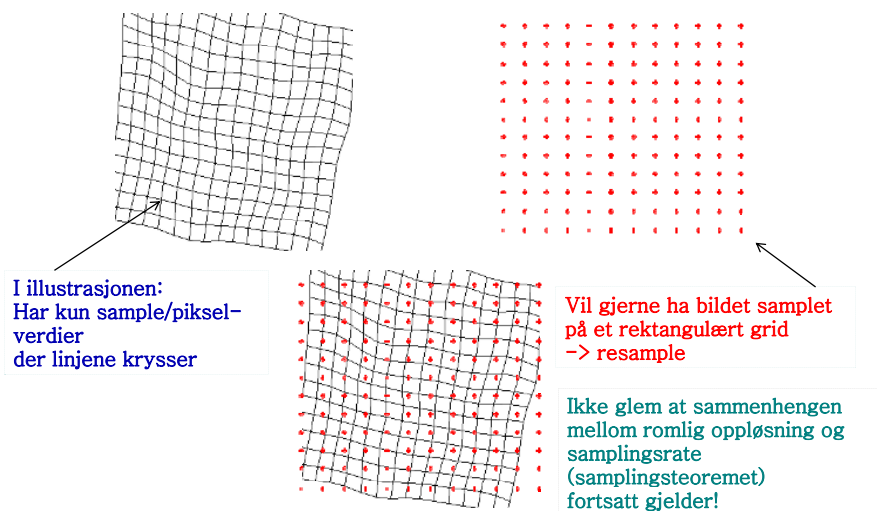
- Polynomer av høyere orden gir muligheter for å korrigere for mer «komplekse» avbildningsfeil.

02.02.2015

INF2310

12

Resampling



I illustrasjonen:
Har kun sample/piksel-
verdier
der linjene krysser

Vil gjerne ha bildet samplet
på et rektangulært grid
-> resample

Ikke glem at sammenhengen
mellom romlig oppløsning og
samplingsrate
(samplingsteoremet)
fortsatt gjelder!

02.02.2015

INF2310

13

Forlengings-mapping

for all x',y' do $g(x',y') = 0$

$a_0 = \cos \theta$
 $a_1 = -\sin \theta$
 $b_0 = \sin \theta$
 $b_1 = \cos \theta$

for all x,y do

$x' = \text{round}(a_0x + a_1y)$

$y' = \text{round}(b_0x + b_1y)$

if (x',y') inside g

$g(x',y') = f(x,y)$

end

Eksempel:

Enkel rotasjon ved transformen:

$$\begin{bmatrix} x' \\ y' \\ 1 \end{bmatrix} = \begin{bmatrix} \cos \theta & -\sin \theta & 0 \\ \sin \theta & \cos \theta & 0 \\ 0 & 0 & 1 \end{bmatrix} \begin{bmatrix} x \\ y \\ 1 \end{bmatrix}$$

Flytter de posisjonstransformerte
pikselposisjonene
til nærmeste pikselposisjon i utbildet.

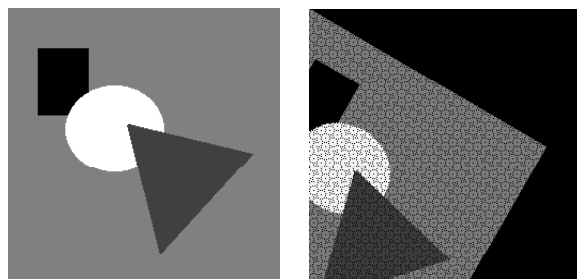
Skriver innbildets $f(x,y)$ inn i $g(x',y')$

02.02.2015

INF2310

14

Forlengings-mapping, forts.



Problemer:

- Ikke alle utpikslar får verdi (hullene i bildet)
- Unødig beregning av pikselkoordinater som allikevel ikke blir synlige (ender utenfor utbildet)
- Samme utbilde-piksel kan bli satt flere ganger

02.02.2015

INF2310

15

Baklengs-mapping

$a_0 = \cos(-\theta)$
 $a_1 = -\sin(-\theta)$
 $b_0 = \sin(-\theta)$
 $b_1 = \cos(-\theta)$

for alle x',y' do

$x = \text{round}(a_0x' + a_1y')$

$y = \text{round}(b_0x' + b_1y')$

if (x,y) inside f

$g(x',y') = f(x,y)$

else

$g(x',y') = 0$

end

Samme eksempel som
ved forlengings-mappingen.

NB: (x,y) rotert med θ ga (x',y')
 (x',y') rotert med $-\theta$ gir (x,y)

Resample bildet.
Her; for hvert utbilde-piksel,
invers-transformér,
og velg verdien til nærmeste piksel
fra innbildet.

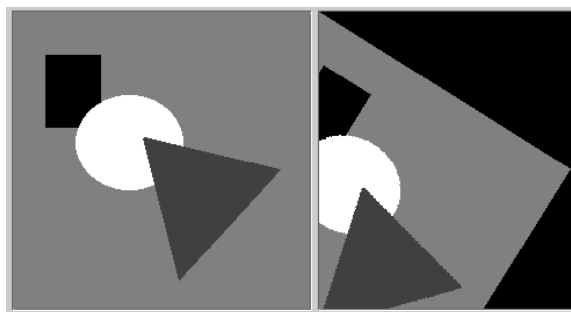
For hver pikselposisjon i ut-bildet:
Hent pikselverdi fra innbildet.

02.02.2015

INF2310

16

Baklengs-mapping, forts.



GARANTI:

- Alle utpiksler får verdi (ingen hull i ut-bildet).
- Ingen unødig beregning av pikselkoordinater som allikevel ikke blir synlige (ender utenfor utbildet).
- Ingen utbilde-piksel vil bli satt flere ganger.

02.02.2015

INF2310

17

Og så : INTERPOLASJON

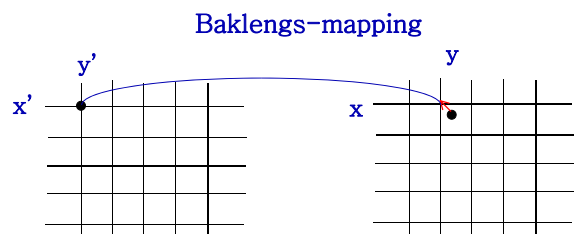
- Vi har utført den geometriske operasjonen "baklengs mapping", som er en re-sampling.
- For hvert piksel i utbildet har vi valgt pikselverdien fra nærmeste piksel i innbildet, gitt transformen.
- Er dette det beste vi kan få til?
- Eller finnes det metoder som gir et bedre resultat?

02.02.2015

INF2310

18

Interpolasjon : Hvilken intensitetsverdi skal pikselen få?



Nullte-ordens interpolasjon eller nærmeste nabo-interpolasjon
 $g(x',y') = f(\text{round}(x), \text{round}(y))$

=> Intensiteten til $g(x',y')$ blir en av verdiene fra f

02.02.2015

INF2310

19

Bilineær interpolasjon - I

- Anta at vi kjenner gråtoneverdien i fire nabo-punkter
- Ønsker å estimere gråtonen i et mellomliggende punkt.
- Gjør to lineære interpolasjoner i én retning først, f.eks i x-retning:

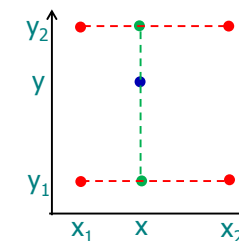
$$f(x, y_1) \approx \frac{(x_2 - x)}{(x_2 - x_1)} f(x_1, y_1) + \frac{(x - x_1)}{(x_2 - x_1)} f(x_2, y_1)$$

og

$$f(x, y_2) \approx \frac{(x_2 - x)}{(x_2 - x_1)} f(x_1, y_2) + \frac{(x - x_1)}{(x_2 - x_1)} f(x_2, y_2)$$

- Så én interpolasjon i ortogonal retning:

$$f(x, y) \approx \frac{(y_2 - y)}{(y_2 - y_1)} f(x, y_1) + \frac{(y - y_1)}{(y_2 - y_1)} f(x, y_2)$$



- Resultatet er uavhengig av rekkefølgen.
- Den interpolerte flaten er kvadratisk (krum), men lineær langs alle linjer som er parallelle med aksene.

02.02.2015

INF2310

20

Bilineær interpolasjon - II

- Bilineær interpolasjon når f er kjent i $(0,0)$, $(0,1)$, $(1,0)$ og $(1,1)$:

$$f(x, y) \approx (1-y)f(x,0) + y f(x,1)$$

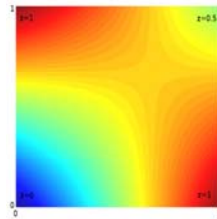
der

$$f(x,0) \approx (1-x)f(0,0) + x f(1,0)$$

og

$$f(x,1) \approx (1-x)f(0,1) + x f(1,1)$$

$$\Rightarrow f(x, y) \approx (1-x)(1-y)f(0,0) + x(1-y)f(1,0) + (1-x)yf(0,1) + xyf(1,1)$$



- Eller i matrisenotasjon:

$$f(x, y) \approx \begin{bmatrix} 1-x & x \end{bmatrix} \begin{bmatrix} f(0,0) & f(0,1) \\ f(1,0) & f(1,1) \end{bmatrix} \begin{bmatrix} 1-y \\ y \end{bmatrix}$$

02.02.2015

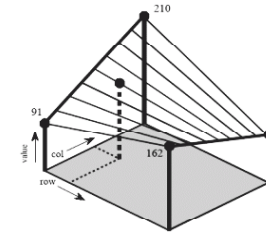
INF2310

21

Første-ordens interpolasjon/ bilineær interpolasjon

- Intensiteten blir en kombinasjon av pikselverdiene i de fire pikslene som omgir punktet
- Bidragene fra hver av disse vektet med avstanden
- Interpolere i x - og y -intervallene mellom 0 og 1:

$$f(x, y) \approx f(0,0)(1-x)(1-y) + f(1,0)x(1-y) + f(0,1)(1-x)y + f(1,1)xy$$



Praktisk algoritme:

$$x_0 = \text{floor}(x), y_0 = \text{floor}(y)$$

$$x_1 = \text{ceil}(x), y_1 = \text{ceil}(y)$$

$$\Delta x = x - x_0$$

$$\Delta y = y - y_0$$

$$p = f(x_0, y_0) + [f(x_1, y_0) - f(x_0, y_0)] \Delta x$$

$$q = f(x_0, y_1) + [f(x_1, y_1) - f(x_0, y_1)] \Delta x$$

$$f(x', y') = p + (q-p)\Delta y$$

02.02.2015

INF2310

22

Bilinært eksempel, skulptur på Blindern

Jon Gundersen
"Velle"
1994
Utført i larvikitt,
På plassen foran
Helga Eng's hus



"Vannet fremhever steinens vridde form
der den ligger langs Blindernaksen. (Ulla Uberg)

02.02.2015

INF2310

23

NN & bilineær interpolasjon, eksempel



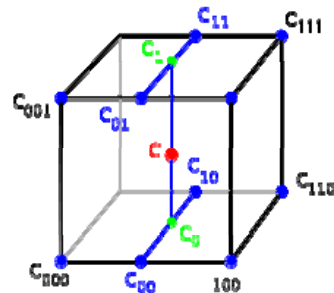
02.02.2015

INF2310

24

Trilineær interpolasjon

- Utvidelsen fra 2D til 3D kalles *trilineær* interpolasjon, og er en lineær interpolasjon mellom resultatene av to bilineære interpolasjoner.
- Resultatet er igjen uavhengig av rekkefølgen.



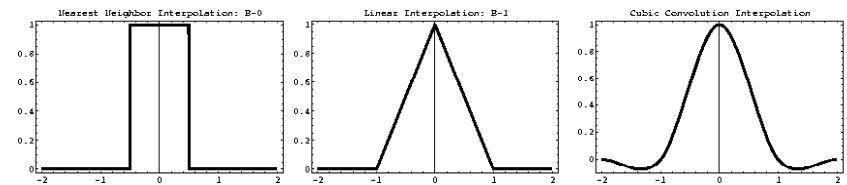
02.02.2015

INF2310

25

Høyere-ordens interpolasjon

- Bi-kubisk interpolasjon benytter et nabolik på 4x4 piksler
- Interpolasjon kan sees på som (kontinuerlig) konvolusjon med bestemte filtre.



(1D-varianter av nærmeste nabo, lineær og kubisk interpolasjonskjerne)

02.02.2015

INF2310

26

Interpolasjonsfunksjoner i praksis

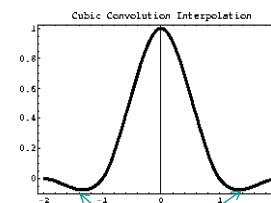
- Nærmeste nabo:
 - Taggete kanter og større totalfeil.
 - Hver ut-piksel har en verdi fra inn-bildet:
 - Ingen rekvantisering er nødvendig:
 - en fordel hvis man vil bevare visse statistiske egenskaper i bildet (eller hvis bildet er segmentert i ulike klasser)
- Bilineær interpolasjon og høyere-ordens interpolasjon:
 - er mer regnekrevende
- Bi-kubisk interpolasjon:
 - gir skarpere bilder og har kontinuerlige deriverte
 - Men er (mye) mer regnekrevende enn bilineær interpolasjon,
 - og kan gi opphav til "kant-glorie-effekter"

02.02.2015

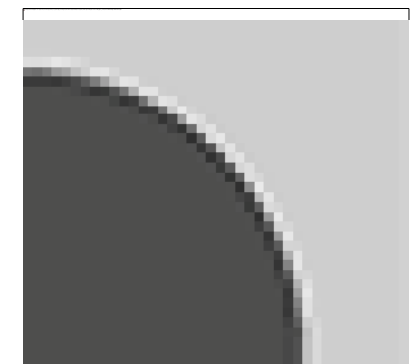
INF2310

27

"Kant-glorie-effekter" / "ringing" ved kubisk interpolasjon



Negative lobe-verdier



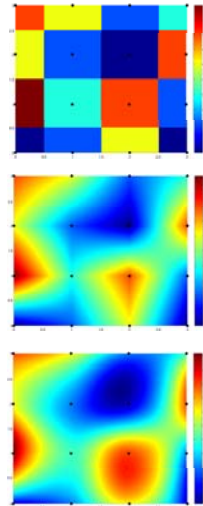
02.02.2015

INF2310

28

Interpolasjon – en sammenligning

- Nærmeste nabo gir 2D trappefunksjon, med diskontinuitet midt mellom punktene.
- Bi-lineær interpolasjon bruker $2 \times 2 = 4$ piksler. Derivert er ikke kontinuerlig over flaten.
- Bi-kubisk interpolasjon gir glattere flater enn bilineær, men er mer regnekrevende; bruker $4 \times 4 = 16$ piksler.

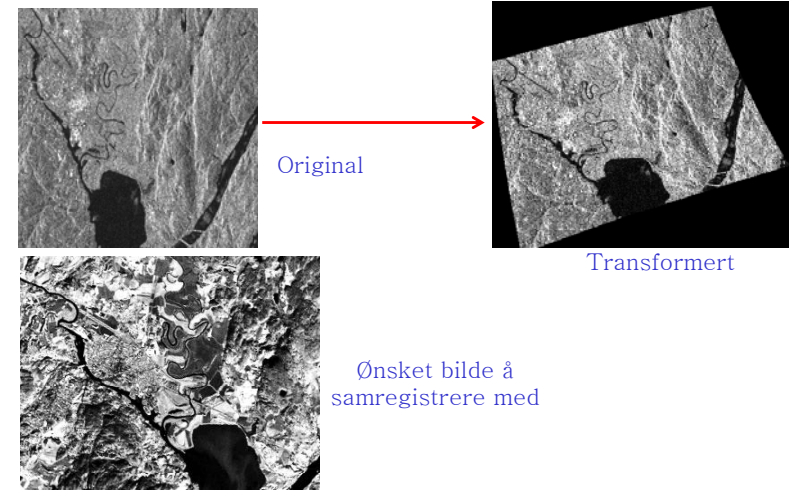


02.02.2015

INF2310

29

Bruk av geometriske transformasjoner: Samregistrering av bilder



02.02.2015

INF2310

30

Samregistrering II

- Hvis bildenes kartkoordinater er kjent, benyttes de til å finne transformkoeffisientene.
- Hvis ikke, brukes gjerne kontrollpunkter:
 - Kontrollpunkter kan plukkes ut manuelt
 - lett identifiserbare punkter (landemerker) i begge bildene.
 - Affine transformasjoner er unikt spesifisert med 3 punktpar
 - (bestemmer $a_0, a_1, a_2, b_0, b_1, b_2$)
 - Bi-lineære med 4 punktpar
 - Bi-kvadratiske med 6 punktpar
 - Bi-kubiske med 16 punktpar, ...
- I praksis velges ofte mange flere punkter for å få en god transformasjon (se neste side)

02.02.2015

INF2310

31

Samregistrering III

- Ved flere kontrollpunkter enn nødvendig for å bestemme transformkoeffisientene, benyttes ofte kvadratfeilen som minimeringskriterium.
- Gitt M kontrollpunkter $(x_i, y_i), (x_i^r, y_i^r)$ («r» indikerer referansebildet) og anta mappingen $(x_i, y_i) \rightarrow (x_i', y_i')$
- Polynomkoeffisientene settes til de som minimerer kvadratfeilen mellom kontrollpunktets sanne koordinater (x_i^r, y_i^r) og de transformerte koordinatene (x_i', y_i') :

$$J = \sum_{i=1}^M (x_i' - x_i^r)^2 + (y_i' - y_i^r)^2$$

- "Enkel" lineæralgebra benyttes til å finne eksakt løsning.

02.02.2015

INF2310

32

Samregistrering IV (Minimere kvadratfeilen)

$$J = \sum_{i=1}^M (x'_i - x_i^r)^2 + (y'_i - y_i^r)^2 = J_x + J_y$$

$$J_x = \sum_{i=1}^M (x'_i - x_i^r)^2$$

G og a er her basert på en affin transform

$$\begin{bmatrix} x'_1 \\ x'_2 \\ \vdots \\ x'_M \end{bmatrix} = \begin{bmatrix} x_1 & y_1 & 1 \\ x_2 & y_2 & 1 \\ \vdots & \vdots & \vdots \\ x_M & y_M & 1 \end{bmatrix} \begin{bmatrix} a_0 \\ a_1 \\ a_2 \end{bmatrix}$$

Vi er på jakt etter koeffisientene i denne a-vektoren

$$J_x = (d - Ga)^T (d - Ga) = d^T d + a^T G^T G a - 2a^T G^T d$$

$$\frac{\partial J_x}{\partial a^T} = 2G^T G a - 2G^T d = 0 \quad \Rightarrow \quad a = (G^T G)^{-1} G^T d$$

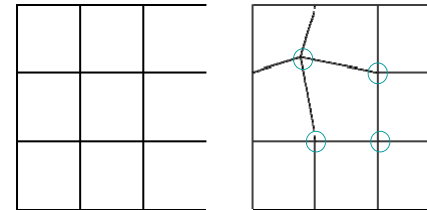
En enkelt matrise

Stykkevis transform

- Resampling: Forskjellige transformasjoner for ulike deler av bildet
- Ofte bestemmes et kontrollgrid som styrer hvordan de ulike delene skal endres
- Bilineær transformasjon benyttes ofte:

$$x' = a_0xy + a_1x + a_2y + a_3$$

$$y' = b_0xy + b_1x + b_2y + b_3$$



Hver firkants fire hjørnepunkter bestemmer entydig den bilineære transformen

Oppsummering

- Transform/ending av pikslens posisjoner (x,y-koordinater)
 - Affine transformasjoner
- Resampling:
 - Forlengs- og baklengsmapping
- Interpolasjonsmetoder for å bestemme gråtonene til de geometrisk transformerte pikslene:
 - Nærmeste nabo-interpolasjon
 - Bilineær interpolasjon
 - Høyere-ordens interpolasjoner
- Bruk av geometriske operasjoner til å samregistrere bilder
 - Kontrollpunkter
 - Løs ligningssett som minimiserer kvadratfeil